

数值分析与算法
大作业二——
 $\sin(x)$ 的数值求解与误差分析

班级：自 71

姓名：屈晨迪

学号：2017010928

1 需求分析

本次作业要对任意给定的 x 求取 $\sin(x)$ 的数值解, 其中 $x \in (-10, 10)$, 精度为 6 位有效数字, 求取结果应精确到小数点后 4 位。

算法要求使用逼近、数值积分、常微分方程三种方法中的任意两种, 使用的方法本身应能到达任意精度, 并需分析相应的方法误差和存储误差对最终结果的影响, 比较不同方法之间的计算代价和收敛速度等性能。

2 方案设计

本次作业使用了两种方法求取 $\sin(x)$ 的数值解, 分别是函数逼近与常微分方程, 对方案原理和算法设计的详细阐述如下。

2.1 逼近

2.1.1 方案基本原理

泰勒公式是一个用函数某点信息描述其邻域函数值的方法。若函数 $f(x)$ 在包含 x_0 的某个闭区间 $[a, b]$ 上具有 n 阶导数, 在开区间 (a, b) 上具有 $n + 1$ 阶导数, 则对于该区间上任意一点 x , 有下式

$$f(x) = \frac{f(x_0)}{0!} + \frac{f'(x_0)}{1!}(x - x_0) + \frac{f''(x_0)}{2!}(x - x_0)^2 + \cdots + \frac{f^{(n)}(x_0)}{n!}(x - x_0)^n + R_n(x)$$

当 $x_0 = 0$ 时, 简化为麦克劳林公式, 即

$$f(x) = \frac{f(0)}{0!} + \frac{f'(0)}{1!}x + \frac{f''(0)}{2!}x^2 + \cdots + \frac{f^{(n)}(0)}{n!}x^n + R_n(x)$$

令前 n 项为 P_n , 即

$$P_n(x) = \frac{f(0)}{0!} + \frac{f'(0)}{1!}x + \frac{f''(0)}{2!}x^2 + \cdots + \frac{f^{(n)}(0)}{n!}x^n = \sum_{k=0}^n \frac{f^{(k)}(0)}{k!}x^k$$

则 n 阶麦克劳林公式可以写成

$$f(x) = P_n(x) + R_n(x)$$

当用 $P_n(x)$ 近似 $f(x)$ 的值时, $R_n(x)$ 为误差项, 采用 $Lagrange$ 余项表示¹, 即存在 ξ 严格介于 0 和 x 之间, 使得

$$R_n(x) = \frac{f^{(n+1)}(\xi)}{(n+1)!}x^{n+1}$$

将本次求解的函数 $\sin(x)$ 代入上述公式, 有

$$f(x) = P_n(x) + R_n(x)$$

$$P_n(x) = x - \frac{x^3}{3!} + \frac{x^5}{5!} - \frac{x^7}{7!} + \cdots + \frac{x^{2n+1}}{(2n+1)!} = \sum_{k=0}^n (-1)^k \frac{x^{2k+1}}{(2k+1)!}$$

¹ 证明详见附录 1

$$R_n(x) = (-1)^{n+1} \frac{\cos(\xi)}{(2n+3)!} x^{2n+3}$$

在本次作业中，要求结果精确到小数点后 4 位，即误差绝对值 $|R_n| \leq \frac{1}{2} \times 10^{-4}$ ，考虑到 $\cos(x)$ 为有界函数，函数取值范围为 $[-1,1]$ ，有

$$|R_n(x)| = \left| (-1)^{n+1} \frac{\cos(\xi)}{(2n+3)!} x^{2n+3} \right| \leq \left| \frac{x^{2n+3}}{(2n+3)!} \right|$$

观察到此时 $|R_n(x)|$ 即 P_n 下一项 $(-1)^{n+1} \frac{x^{2n+3}}{(2n+3)!}$ 的绝对值，因此我们可以用下一个累加项的绝对值与给定的误差作比较，以判定累加是否结束。考虑到在本次作业中还存在舍入误差，因此在方法误差中留出一定余量，选择总误差的一半即 $\frac{1}{4} \times 10^{-4}$ 作为方法误差上限，如果有

$$\left| (-1)^{n+1} \frac{x^{2n+3}}{(2n+3)!} \right| \leq \frac{1}{4} \times 10^{-4}$$

必有

$$|R_n(x)| \leq \left| \frac{x^{2n+3}}{(2n+3)!} \right| \leq \frac{1}{4} \times 10^{-4}$$

由上述分析也可知，该方法可以精确到需要的任意精度，只需调整对累加项绝对值上限的限制即可。

2.1.2 算法设计

由方案原理设计算法，使用 $P_n = \sum_{k=0}^n (-1)^k \frac{x^{2k+1}}{(2k+1)!}$ 近似 $\sin(x)$ 。输入数值为 num ，初始累加项 $add = num$ ，使用 $do-while$ 循环做累加，每次执行循环体，计算并判断下一个累加项是否有 $add > \frac{1}{4} \times 10^{-4}$ ，若是，则继续循环，若不是，则累加停止。程序框图如图 1 所示。

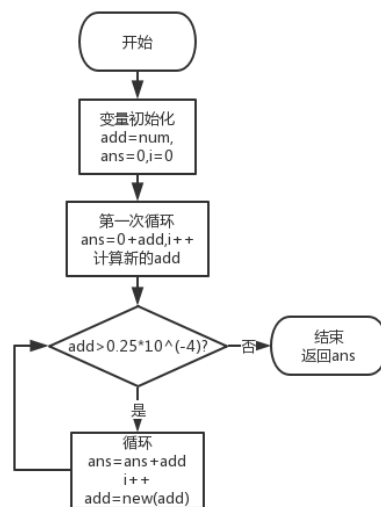


图 1 泰勒展开法流程图

2.2 常微分方程

2.2.1 方案基本原理

考虑到函数 $y = \sin(x)$ 的导数为 $y' = \cos(x)$ ，且有 $\sin^2 x + \cos^2 x = 1$ ，可以列写常微分方程如下

$$\begin{cases} y' = \sqrt{1 - y^2} \\ y(0) = 0 \end{cases}$$

采用变形的欧拉公式进行求解

$$\begin{cases} y_{n+1} = y_n + hK_2 \\ K_1 = f(x_n, y_n) \\ K_2 = f(x_n + \frac{h}{2}, y_n + \frac{h}{2}K_1) \end{cases}$$

其中 $f(x, y) = \sqrt{1 - y^2}$ ，运用该公式时要把区间 $(0, x)$ 做 N 等分， h 为小区间的长度，有 $h = \frac{x}{N}$ 。

可以证明²变形欧拉公式的局部精度为 $o(h^3)$ ，总误差精度为 $o(h^2)$ ，因此可以用 h^2 与总误差限 1×10^{-4} 作比较，从而确定 N 和 h ，再进行后续迭代。

2.2.2 算法设计

算法主要由两部分构成。首先要确定步长 h ，将 N 初始值设为1，不断加1，判断是否有 $\left(\frac{x}{N}\right)^2 > 1 \times 10^{-4}$ ，若是，则继续增大 N ，减小步长，若不是，则终止循环，以当前 N 计算 h 作为后续计算的步长。按照变形欧拉公式进行迭代，取初始值 $y_0 = \sin(0) = 0$ ， $f(x_n, y_n) = \sqrt{1 - y_n^2}$ ，分别计算 K_1, K_2 和 y_{n+1} ，迭代 N 次，最终获得的 y_{n+1} 即为所求。

注意到常微分方程 $y' = \sqrt{1 - y^2} \geq 0$ ，即 $\cos(x) \geq 0$ ，因此输入的数值 num 有范围限制，程序在获得输入值之后，先判断 num 是否在 $[-\frac{\pi}{2}, \frac{\pi}{2}]$ 的区间里，若不在，根据 $\sin(x)$ 函数的周期性和中心对称性将其转到 $[0, \frac{\pi}{2}]$ 上再进行后续的求解。考虑误差分析中需要用到二阶导数，其二阶导数包含 $\tan(x)$ 部分，当 x 趋近于 $\pi/2$ 时，二阶导趋于无穷，无法进行分析，因此，还需将范围转到 $[0, \frac{\pi}{4}]$ 上，通过函数关系 $\sin(x) = \sqrt{1 - \sin\left(\frac{\pi}{2} - x\right)^2}$ 即可实现转换。完整流程图如图2所示。

² 证明见 3.2 误差分析

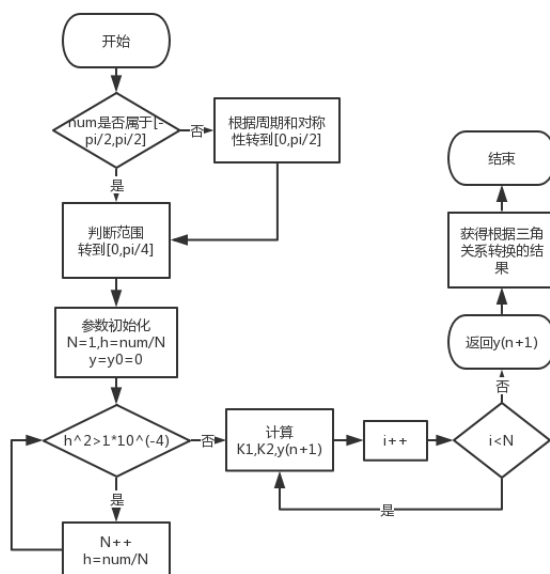


图 2 变形欧拉流程图

3 误差分析

3.1 函数逼近

3.1.1 方法误差

从 2.1.1 的分析可知，使用 *taylor* 展开逼近 $\sin(x)$ 的方法误差是其展开式的拉格朗日余项，即

$$R_n(x) = (-1)^{n+1} \frac{\cos(\xi)}{(2n+3)!} x^{2n+3}$$

其中 ξ 严格在 0 和 x 之间，算法中通过对累加项绝对值的限制规定了方法误差上限，既有

$$|R_n(x)| = |(-1)^{n+1} \frac{\cos(\xi)}{(2n+3)!} x^{2n+3}| \leq |(-1)^{n+1} \frac{x^{2n+3}}{(2n+3)!}| \leq \frac{1}{4} \times 10^{-4}$$

因此方法误差 $|R_1| \leq \frac{1}{4} \times 10^{-4}$.

3.1.2 舍入误差

对于本次作业，输入的数值 $x \in (-10, 10)$ ，有 6 位有效数字³，因此有

$$\begin{cases} |\Delta x| \leq 0.5 \times 10^{-6} & x \in (-1, 1) \\ |\Delta x| \leq 0.5 \times 10^{-5} & other \end{cases}$$

舍入误差随计算不断累积，使用多元函数的误差估计分析舍入误差对结果的影响，在本例中，有

³ 需要指出，笔者分析泰勒展开误差时，考虑了输入为 6 位有效数字带来的观测误差，但在与助教交流中发现，此观测误差其实不需考虑，因此后续 3.2 节常微分方程的误差分析中未做考虑

$$P_n^*(x) = x^* - \frac{x^{*3}}{3!} + \frac{x^{*5}}{5!} - \frac{x^{*7}}{7!} + \cdots + \frac{x^{*2n+1}}{(2n+1)!} = f_n(x^*)$$

则

$$|\Delta P_n| = |P_n - P_n^*| = \left| \left(\frac{\partial f_n}{\partial x} \right)^* \cdot \Delta x \right| = \left| \left(1 - \frac{x^{*2}}{2!} + \frac{x^{*4}}{4!} - \cdots + \frac{x^{*2n}}{2n!} \right) \Delta x \right|$$

可见其总舍入误差与累加次数 n 相关。

注意到在实际的程序运行中，是用每一步计算出的结果进行计算，再累加迭代，因此还应存在计算机存储误差的累积，上式计算总舍入误差的方法其实是忽略了每次迭代中的存储误差，而本程序中对数值的存储均使用`double`类型，每次运算的截断误差在 10^{-16} 量级，累积后与 10^{-6} 相比仍为极小量，因此此种忽略是可以接受的。

当 $x \in (-1,1)$ 时，由 $|(-1)^{n+1} \frac{x^{2n+3}}{(2n+3)!}| \leq \frac{1}{2} \times 10^{-4}$ 可得 $n \leq 3$ ，说明`taylor`展开在 3 项以内结果即能收敛，此时

$$|\Delta P_n| = \left| \left(1 - \frac{x^{*2}}{2!} + \frac{x^{*4}}{4!} - \cdots + \frac{x^{*2n}}{2n!} \right) \Delta x \right| \leq 1 \cdot |\Delta x| \leq 0.5 \times 10^{-6}$$

当 $x \in [1,10) \cup (-10,-1]$ 时，可以推算得 $n \in [3,16]$ ，即当前输入情况下`taylor`展开最多在 16 项左右能够收敛，且易知 $\left(1 - \frac{x^{*2}}{2!} + \frac{x^{*4}}{4!} - \cdots + \frac{x^{*2n}}{2n!} \right)$ 收敛到 $\cos(x^*)$ ，此时有

$$\begin{aligned} |\Delta P_n| &= \left| \left(1 - \frac{x^{*2}}{2!} + \frac{x^{*4}}{4!} - \cdots + \frac{x^{*2n}}{2n!} \right) \Delta x \right| \leq \left(|\cos(x^*)| + \left| \frac{x^{2n+2}}{(2n+2)!} \right| \right) \cdot |\Delta x| \\ &\leq \left(1 + \frac{2n+3}{x^*} \times \frac{1}{2} \times 10^{-4} \right) \times 0.5 \times 10^{-5} < (1 + 10^{-3}) \times 0.5 \times 10^{-5} \\ &= 5.005 \times 10^{-6} \end{aligned}$$

可以看到，此种方法下的总舍入误差 $|R_2| \leq 5.005 \times 10^{-6}$ ，约在 10^{-6} 数量级，与方法误差的 $\frac{1}{4} \times 10^{-4}$ 相比为较小量，总误差中方法误差占主导。

综上所述，总误差 $|R| = |R_1 + R_2| \leq |R_1| + |R_2| \leq \frac{1}{4} \times 10^{-4} + 5.005 \times 10^{-6} < \frac{1}{2} \times 10^{-4}$ 满足题目精确到小数点后四位的要求。

3.1.3 计算代价和收敛速度

由收敛速度定义式（图 5）可知，迭代点列 $x_k = \sum_{i=0}^k (-1)^i \frac{x^{2i+1}}{(2i+1)!}$ ，误差项 $|x_k - x^*| = \frac{\cos(\xi)}{(2k+3)!} x^{2k+3}$ ， $|x_{k+1} - x^*| = \frac{\cos(\eta)}{(2k+5)!} x^{2k+5}$ ，则有

$$\lim_{k \rightarrow \infty} \frac{|x_{k+1} - x^*|}{|x_k - x^*|} = \lim_{k \rightarrow \infty} \frac{\frac{\cos(\eta)}{(2k+5)!} x^{2k+5}}{\frac{\cos(\xi)}{(2k+3)!} x^{2k+3}} = \lim_{k \rightarrow \infty} \frac{\cos(\eta) x^2}{\cos(\xi) (2k+5)(2k+4)}$$

当 $k \rightarrow \infty$ 时，有 $x_k = x_{k+1} = x^*$ ，即 $\cos(\eta) = \cos(\xi) = \cos(x^*)$ ，设 x 有实上限 r ，此时有

$$\lim_{k \rightarrow \infty} \frac{|x_{k+1} - x^*|}{|x_k - x^*|} = \lim_{k \rightarrow \infty} \frac{x^2}{(2k+5)(2k+4)} \leq \lim_{k \rightarrow \infty} \frac{r^2}{(2k+5)(2k+4)} = 0$$

所以可得泰勒展开是一阶超线性收敛的。

收敛速度(已知收敛): 若

$$\lim_{k \rightarrow \infty} \frac{\|x_{k+1} - x^*\|}{\|x_k - x^*\|} = a$$

当 $0 < a < 1$ 时, 迭代点列 $\{x_k\}$ 的收敛速度是线性的, 这时算法称为**线性收敛**。当 $a = 0$ 时, $\{x_k\}$ 的收敛速度是超线性的, 称为**超线性收敛**。

二阶收敛: 若

$$\lim_{k \rightarrow \infty} \frac{\|x_{k+1} - x^*\|}{\|x_k - x^*\|^2} = a$$

图 5 点列收敛速度定

本程序中泰勒展开的计算代价与迭代次数成正比, 观察到在 x 取 10 时, 迭代次数最大为 16; 对于一个输入 x , 设迭代次数为 n , 每次迭代过程中, 有加减运算 3 次, 乘除运算 7 次, 则计算代价为 $O(10n)$ 即 $O(n)$ 。

3.2 常微分方程

3.2.1 方法误差

分析变形欧拉公式的方法误差。变形的欧拉公式为

$$\begin{cases} y_{n+1} = y_n + hK_2 \\ K_1 = f(x_n, y_n) \\ K_2 = f(x_n + \frac{h}{2}, y_n + \frac{h}{2}K_1) \end{cases}$$

假设 $y_n = y(x_n)$, 计算其局部方法误差表示为

$$\Delta_n = y(x_{n+1}) - y_{n+1} = y(x_{n+1}) - y_n - hK_2$$

注意到 $y'(x_n) = f_n$, 将其中各个部分在 x_n 处泰勒展开, 有

$$y(x_{n+1}) \approx y(x_n) + hy'(x_n) + \frac{h^2}{2}y^{(2)}(x_n) + \frac{h^3}{3!}y^{(3)}(x_n)$$

$$K_2 \approx y'\left(x_n + \frac{h}{2}\right) = y'(x_n) + \frac{h}{2}y^{(2)}(x_n) + \frac{h^2}{2 \cdot 2!}y^{(3)}(x_n)$$

代入局部误差表达式, 近似有

$$\begin{aligned} \Delta_n &= y(x_n) + hy'(x_n) + \frac{h^2}{2}y^{(2)}(x_n) + \frac{h^3}{3!}y^{(3)}(x_n) - y_n \\ &\quad - h\left(y'(x_n) + \frac{h}{2}y^{(2)}(x_n) + \frac{h^2}{2 \cdot 2!}y^{(3)}(x_n)\right) \\ &= \frac{h^3}{3!}y^{(3)}(x_n) - \frac{h^3}{8}y^{(3)}(x_n) = \frac{h^3}{24}y^{(3)}(x_n) = o(h^3) \end{aligned}$$

可以看到, 变形的欧拉公式局部截断误差为 $o(h^3)$ 。

下面计算总的方法误差, 将变形的欧拉公式改写为预测和校正形式, 即

$$\begin{cases} \bar{y}_{n+\frac{1}{2}} = y_n + \frac{h}{2}f(x_n, y_n) \\ y_{n+1} = y_n + hf\left(x_{n+\frac{1}{2}}, \bar{y}_{n+\frac{1}{2}}\right) \end{cases}$$

则其累计误差

$$\begin{cases} \bar{\Delta}_{n+\frac{1}{2}} \leq \Delta_n \left(1 + \frac{h}{2} \cdot \frac{\partial f}{\partial y}(x_n, y_n) \right) + \frac{h^2}{8} y^{(2)}(\xi) \\ \Delta_{n+1} \leq \Delta_n + h \cdot \frac{\partial f}{\partial y}(x_n, y_n) \cdot \bar{\Delta}_{n+\frac{1}{2}} + \frac{h^3}{24} y^{(3)}(\eta) \end{cases}$$

其中 ξ 严格介于 x_n 和 $x_{n+\frac{1}{2}}$ 之间, η 介于 x_n 和 x_{n+1} 之间。

可以设

$$\left| \frac{\partial f}{\partial y}(x_n, y_n) \right| \leq M \quad |y^{(2)}(\xi)| \leq L \quad |y^{(3)}(\eta)| \leq T$$

则将累积误差公式简写为

$$\begin{cases} \bar{\Delta}_{n+\frac{1}{2}} \leq \Delta_n \left(1 + \frac{h}{2} M \right) + \frac{h^2}{8} L \\ \Delta_{n+1} \leq \Delta_n + h \cdot M \cdot \bar{\Delta}_{n+\frac{1}{2}} + \frac{h^3}{24} T \end{cases}$$

将 $\bar{\Delta}_{n+\frac{1}{2}}$ 代入, 即有

$$\Delta_{n+1} \leq \Delta_n + h \cdot M \left(\Delta_n \left(1 + \frac{h}{2} M \right) + \frac{h^2}{8} L \right) + \frac{h^3}{24} T \leq \left(1 + hM + \frac{h^2}{2} M^2 \right) \Delta_n + \left(\frac{ML}{8} + \frac{T}{24} \right) h^3$$

将上述不等式配凑为等比数列, 即

$$\Delta_{n+1} + \frac{3ML + T}{24M + 12hM^2} h^2 \leq \left(1 + hM + \frac{h^2}{2} M^2 \right) \left(\Delta_n + \frac{3ML + T}{24M + 12hM^2} h^2 \right)$$

可有

$$\Delta_{n+1} + \frac{3ML + T}{24M + 12hM^2} h^2 \leq \left(1 + hM + \frac{h^2}{2} M^2 \right)^{n+1} \cdot \frac{3ML + T}{24M + 12hM^2} h^2$$

当 $h \rightarrow 0$ 时, h^2 可视为小量忽略, 又 $n = \frac{1}{h}$, $n \rightarrow \infty$, 此时有

$$\lim_{h \rightarrow 0} \left(1 + hM + \frac{h^2}{2} M^2 \right)^{n+1} = \lim_{h \rightarrow 0} ((1 + hM)^{\frac{1}{hM}+1})^M = e^M$$

趋于常数, 则方法累积误差可以写为

$$\Delta_{n+1} \leq (e^M - 1) \cdot \frac{3ML + T}{24M + 12hM^2} h^2$$

在本例中, $f_n = y'(x_n) = \sqrt{1 - y^2}$, 即有

$$\frac{\partial f}{\partial y}(x_n, y_n) = -y(1 - y^2)^{-\frac{1}{2}}$$

$$y^{(2)}(x_n) = f'_n = \frac{\partial f}{\partial y}(x_n, y_n) y'_n = -y$$

$$y^{(3)}(x_n) = -\sqrt{1 - y^2}$$

在 $x \in [0, \frac{\pi}{4}]$ 上, y 递增, 有 $y \in [0, \frac{\sqrt{2}}{2}]$, 则有

$$\left| \frac{\partial f}{\partial y}(x_n, y_n) \right| \leq \frac{\sqrt{2}}{2} \left(1 - \left(\frac{\sqrt{2}}{2} \right)^2 \right)^{-\frac{1}{2}} = 1$$

$$|y^{(2)}(\xi)| = y \leq \frac{\sqrt{2}}{2}$$

$$|y^{(3)}(\eta)| = \sqrt{1 - y^2} \leq 1$$

因此可以取

$$M = 1 \quad L = \frac{\sqrt{2}}{2} \quad T = 1$$

则方法累计误差为

$$\Delta_{n+1} \leq (e^M - 1) \cdot \frac{3ML + T}{24M + 12hM^2} h^2 \leq (e - 1) \cdot \frac{\frac{3\sqrt{2}}{2} + 1}{24 + 12h} h^2 \leq \frac{5.3634h^2}{24 + 12h}$$

程序中确定 N 和 h 的值时, 判定条件为

$$h^2 \leq 1 \times 10^{-4}$$

即 $h \leq 1 \times 10^{-2}$, 由分析可知, Δ_{n+1} 随 h 的增大而增大, 因此

$$\Delta_{n+1} \leq \frac{5.3634 \times 10^{-4}}{24 + 12 \times 10^{-2}} \approx 2.2236 \times 10^{-5}$$

小于给定的误差限 $\frac{1}{2} \times 10^{-4}$.

注意到在变形欧拉公式的迭代过程及从 $[0, \frac{\pi}{2}]$ 转到 $[0, \frac{\pi}{4}]$ 的过程中, 还会有开根号函数 `mysqrt()` 产生的方法误差, `mysqrt()` 函数通过二分法实现对输入值 x 的开根运算, 二分法停止的条件是 $|\text{res} - \frac{x}{\text{res}}| \leq 1 \times 10^{-15}$, 有

$$|\text{res}^2 - x| \leq |\text{res}| \times 10^{-15}$$

$$|\text{res} - x| \leq \left| \frac{\text{res}}{\text{res} + x} \right| \times 10^{-15} \leq 1 \times 10^{-15}$$

在 10^{-15} 量级左右, 与每步 $o(h^3)$ 约 10^{-6} 的误差相比为小量, 在方法误差分析中忽略不计。

3.2.2 舍入误差

(1) 数值范围转换

由于常微分方程中出现根号, 有自变量范围的限制, 且在分析误差时发现当 x 接近 $\pi/2$ 时会出现误差限无穷大的情况, 因此需要先将 x 转换到 $[0, \frac{\pi}{2}]$ 的范围上, 再通过三角等式将其转到 $[0, \frac{\pi}{4}]$ 上。

首先分析转换到 $[0, \frac{\pi}{2}]$ 的过程中出现的初始舍入误差。考虑到计算机中存储的 π 本身即有误差, 为避免多步误差的累积, 范围转换采用如下方法, 先将输入弧度制转为角度, 再判断其与 90° 的关系, 利用正弦函数的对称性和周期性, 将其转换到 $[0, 90^\circ]$ 上, 再转变为弧度, 作为后续输入。按上述方法计算, 共有两步弧度制和角度制的转换产生舍入误差, 使用的数据类型为 `double`, 因此初始误差在 1×10^{-15} 左右。

对于 $[\frac{\pi}{4}, \frac{\pi}{2}]$ 上的数值计算结果, 需要通过 $\sin(x) = \sqrt{1 - \sin^2(\frac{\pi}{2} - x)}$ 进行转换得到, 此步计算中开根号函数 `mysqrt()` 会产生一定的舍入误差, 认为大致在 10^{-15} 左右。

(2) 变形欧拉公式迭代中的累积

在变形欧拉公式的计算中,需要不断迭代,每步迭代均会产生舍入误差,在本次程序中,此误差还包含了开根号函数mysqrt()中每一步二分法产生的舍入误差。程序中 y_n, K_1, K_2 均使用double类型存储,每次计算产生舍入误差为 1×10^{-15} 左右。其中 K_1, K_2 的计算会存在开根号的步骤,此处分析扩大误差容限,认为每步舍入误差为 5×10^{-15} ,即 $\frac{1}{2} \times 10^{-14}$ 。

由 3.2.1 方法误差中的分析易得,舍入误差可以表示为

$$\begin{cases} \bar{\delta}_{n+\frac{1}{2}} \leq \delta_n \left(1 + \frac{h}{2}M\right) + \frac{1}{2} \times 10^{-m} \\ \delta_{n+1} \leq \delta_n + h \cdot M \cdot \bar{\delta}_{n+\frac{1}{2}} + \frac{1}{2} \times 10^{-m} \end{cases}$$

$$\begin{aligned} \delta_{n+1} &\leq \delta_n + h \cdot M \left(\delta_n \left(1 + \frac{h}{2}M\right) + \frac{1}{2} \times 10^{-m} \right) + \frac{1}{2} \times 10^{-m} \\ &\leq \left(1 + hM + \frac{h^2}{2}M^2\right) \delta_n + (1 + hM) \frac{1}{2} \times 10^{-m} \end{aligned}$$

凑等比数列,有

$$\delta_{n+1} + \frac{(1 + hM) \times 10^{-m}}{2hM + h^2M^2} \leq \left(1 + hM + \frac{h^2}{2}M^2\right) \left(\delta_n + \frac{(1 + hM) \times 10^{-m}}{2hM + h^2M^2} \right)$$

考虑初始范围转换的舍入误差 10^{-15} ,即有总舍入误差

$$\delta_{n+1} \leq \left(1 + hM + \frac{h^2}{2}M^2\right)^{n+1} \left(\frac{(1 + hM) \times 10^{-m}}{2hM + h^2M^2} + 10^{-15} \right) - \frac{(1 + hM) \times 10^{-m}}{2hM + h^2M^2}$$

当 $h \rightarrow 0$ 时,分析同方法误差部分,即

$$\lim_{h \rightarrow 0} \left(1 + hM + \frac{h^2}{2}M^2\right)^{n+1} = e^M$$

已知此时各参数的取值

$$M = 1 \quad L = \frac{\sqrt{2}}{2} \quad T = 1 \quad m = 14$$

即有

$$\delta_{n+1} \leq (e - 1) \frac{(1 + h) \times 10^{-14}}{2h + h^2} + e \times 10^{-15}$$

可以看到当 h 越小时, δ_{n+1} 越大,而方法误差关于 h 的表达式为 $\Delta_{n+1} \leq \frac{5.3634h^2}{24+12h}$,随 h 的减小而缩小,比较 δ_{n+1} 和 Δ_{n+1} 两者的速度,注意到 δ_{n+1} 的系数中包含 10^{-14} 的项,在 h 减小时, δ_{n+1} 增加的量远小于 Δ_{n+1} 减小的量,因此两者的和,即总误差与 h 正相关。

3.2.3 计算代价和收敛速度

已知方法误差表达式 $\Delta_{n+1} \leq \frac{5.3634h^2}{24+12h}$,即 $o(h^2)$,该算法的收敛速度为 $\frac{1}{N^2}$;给定要求的精

度,如精确到小数点后 d 位,迭代次数 N 应有 $\left(\frac{x}{N}\right)^2 \approx 10^{-d}$,即 $N \approx x \cdot 10^{d/2}$,本例中 $x \in [0, \frac{\pi}{4}]$,

因此计算复杂度为 $O(10^{\frac{d}{2}})$ 。

4 方法比较

	逼近（泰勒展开）	常微分方程（变形欧拉）
方法误差	$\frac{\cos(\xi)}{(2n+3)!}x^{2n+3}$	$\frac{5.3634h^2}{24+12h}$
是否有自变量范围限制	无（但有收敛范围）	有 $[0,\frac{\pi}{2}]$ ，本程序中转至 $[0,\frac{\pi}{4}]$
收敛速度	较快	较慢
计算代价	较小	较大

4 项目总体设计

4.1 编译环境及运行

本程序为在 VS2017 平台上使用 C#语言编写的 Windows 窗体应用程序，编译和运行于.NET Framework 4.6.1 框架。

4.2GUI 设计

本次大作业的界面设计如图 3 所示，用户可以在界面上方的文本框中输入要求解的弧度数值⁴，点击“求解”按钮，下方会显示使用泰勒展开法和变形欧拉公式法求得的结果、误差和迭代次数，如图 4 所示。



图 3 初始界面

⁴ 本次大作业规定为 $x \in (-10,10)$ ，有 6 位有效数字



图 4 求解界面

例如输入 $x = 4.12416$ ，两种方法得到的误差均小于 $\frac{1}{2} \times 10^{-4}$ ，满足误差限要求，泰勒展开的迭代次数为 9，变形欧拉为 99，可以看到变形欧拉的收敛速度较慢，需要迭代较多次，这与先前的分析相符。

5 实验总结和心得体会

本次大作业相对第一次大作业的编程难度有所下降，但误差分析的要求大大提升。通过本次作业，我重新复习了函数逼近、常微分方程等数值求解的方法，加深了对泰勒展开、欧拉法、改进欧拉、龙格-库塔等方法误差分析的掌握和理解，再次回顾了几类主要的误差来源，认识到在计算机编程运算中舍入误差会随迭代累积，并用多元函数误差分析进行计算，了解了各种方法收敛速度和复杂度的计算方法；同时，我也复习了 c# 编程相关的知识，整体而言收获颇丰。最后感谢老师和助教对我本次大作业的帮助！